

Н. В. Маслун, І. В. Недосекова, Н. Н. Цихоцька

X

СТРАТИГРАФІЯ НАФТОГАЗОНОСНИХ ПАЛЕОЦЕНОВИХ ВІДКЛАДІВ ПІВНІЧНО-ЗАХІДНОГО ШЕЛЬФУ ЧОРНОГО МОРЯ І ТАРХАНКУТСЬКОГО ПІВОСТРОВА

По комплексу биолитосесмостратиграфических данных приведена детальная стратификация палеоценовых отложений, их фациальная структура и условия осадконакопления. Рассмотрены коллекторские свойства продуктивных палеоценовых отложений. Предложена детальная стратиграфическая схема палеоценовых отложений северо-западного-северного шельфа Черного моря.

The article introduces data led stratification of paleocene deposits and connections of deposite coposity under the pexistiny complex of bio-lito-sesmostratipical data. The articol also describes colected poculavities of productive paleocene deposites and introduces detailed stratigraphy Scheem of paleocene deposits of the nortwestern shelf of the Black sea.

З палеоценовими відкладами пов'язана більшість газових і газоконденсатних родовищ Південної нафтогазоносної провінції. На північно-західному шельфі Чорного моря та Тарханкутському п-ові до них приурочено 12 газових і газоконденсатних родовищ: сім – на території Рівнинного Криму і п'ять – чорноморській акваторії, з яких 3 – середні за запасами (Одеське, Штурмове, Голіцинське). Обґрунтовано перспективність цих відкладів і у межах Крайового уступу, де нижньопалеоценовий породний комплекс є основним колектором, що містить поклади нафти (св. Олімпійська-400). Крім того, на багатьох площах зафіксовано непромислові припливи нафти, газу та конденсату [1, 3, 4, 6, 15] (рис. 1).

Останнім часом темпи нафтогазопошукових робіт різко скоротились через відсутність достатнього бюджетного фінансування. Тому при вирішенні прогнозних задач значна увага приділяється комплексній переінтерпретації вже наявного геологічного матеріалу. В цьому аспекті з метою деталізації палеоценового розрізу за комплексом палеонтологічних, літологічних, геофізичних, сеймостратиграфічних даних з'ясовано хроностратиграфічну структуру палеоценових відкладів, проаналізовано потужності та поширення літофаций на структурах північно-західного шельфу: Каркінітсько-Північно-Кримському прогині, Каламітському валоподібному піднятті та Крайовому уступі. За цим аналізом доведено, що палеоценові відклади мають складну будову, мінливі потужності та мозаїчну літофактальну структуру. Встановлено ділянки, де наявні повні розрізи палеоцену та

виявлені значні перериви [14, 16, 18]. Проведено детальну стратифікацію, кореляцію як по свердловинах окремих підняттів, так і в межах північно-західного шельфу Чорного моря. На багатьох підняттях проаналізовано потужності окремих верств на біозональному рівні. Зауважимо, що зонування за планктонними форамініферами, яке виконано майже на всіх структурах шельфу з метою детально-го розчленування розрізів, свідчить, що на шельфі, порівняно з Причорномор'ям та Кримом, дрібні стратиграфічні одиниці – зони світи представлені повніше, вони повторюють послідовність біозон Кримсько-Кавказької області, що дозволяє корелювати їх як у межах регіону, так і зі стандартною шкалою, та грунтовно по датованих рівнях встановлювати межі палеоцену, об'єми регіоярусів, світ у региональній схемі [2, 5, 8, 12, 17].

Палеоценові відклади узгоджено чи з переривом залягають на верхньокрейдяних і перекриваються нижньо-ооценовими. Виділяються у складі двох підвідділів та двох регіоярусів.

Нижній палеоцен. Білокам'янський регіоярус (рис. 2). **Громівська світа**. Поділяється на дві підсвіти: нижньо- та верхньо-підгромівську. У розрізі нижньогромівської підсвіти чітко виокремлюються дві пачки. Нижня характеризується переважанням у розрізі мергелів та вапнякових глин (підняття Штурмове, Каркінітське, Сельського та ін.) [14, 18]. У глинах переважають тонкостінні черепашки форамініфер та їх детрит, менша питома вага кальцитизованих спікул губок, поодинокі діатомові водорості поганої збереженості і майже відсутні уламкові зерна. Деяке збільшення уламкового матеріалу спостерігається у глинистих вапняках північної частини Михайлівської западини. Крім того, в

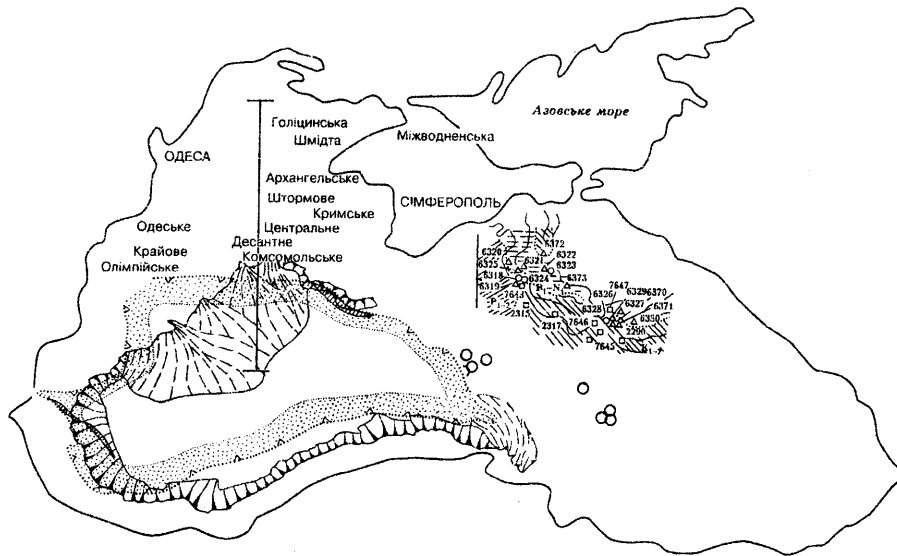


Рис. 1. Схема структур північно-західного шельфу Чорного моря та полігонів, де піднято палеоценові відклади

породах присутні уламки алевролітів та кварцитів, зростає кількість аутогенних мінералів. Вміст органічних решток, переважно форамініфер та спікул губок, сягає 60%. Треба зазначити, що на піднятті Шмідта розріз є більш глинистим, зменшується кількість уламкового матеріалу. Потужність пачки – від 60 до 160 м.

Ця пачка відповідає зонам планктонних форамініфер *Eoglobigerina eobulloides* – *Globoconus daubjergensis* з характерним комплексом: *Frondicularia elegans* Glaessner, *Stensioina caucasica* Subb., *Subbotina trivialis* (Subb.), *S. varianta* (Subb.) *S. triloculinoides* (Plumm.), *Parasubbotina pseudobulloides* (Plumm.), *Globanomalina planocompressa* (Schutsk.), *Caucasina aff. constrictula* (Brotzen.), та ін. За нанопланктоном це зона *Cruciplacolithus* s. str. [9, 10].

Верхня пачка відрізняється літологічною мінливістю та зменшенням карбонатності розрізу. В північній частині Михайлівської западини, на підняттях Голіцина (св. 1, 2, 25) та Шмідта розріз представлений органогенно-детритусовими мергелями з вмістом CaCO_3 до 65,0%. На піднятті Центральне (св. 1) – це перешарування мергелів та глинистих вапняків з численними кременями. Аналогічний розріз на піднятті Штормове (рис. 3). Характерними є орієнтована та хаотична мікротекстури. Уламкові зерна, глауконіт, колофан майже відсутні, але багато піриту. В окремих прошарках присутні ромбоедричні кристали

доломіту. Органічних решток – від 10,0 до 85,0%. Породоутворюючими є уламки крінідей, кальцитизовані спікули губок, тонкостінні черепашки форамініфер та їх детрит. Співвідношення органічних решток змінюється пошарово, але всюди переважають уламки крінідей розміром 0,02–0,4 мм. У св. Штормова-2 виявлено прошарки крінідніх вапняків. Крім літологічного розмаїття для відкладів пачки характерна мінливість потужностей – від 30–40 м (підняття Архангельське) до 150 м (Каркінітське).

Відповідає зоні *Acarinina inconstans*, що містить форамініфири: *Heterostomelia gigantica* Subb., *Brotzenella praecutita* Vass., *Stensioina caucasica* Subb., *Globorotalites granulatus* Posar., *Cibicides ecblomi* Brotz., *C. burlingtonensis* Jenn., *Subbotina varianta* (Subb.), *S. prolonga* (Schutz.), *S. triangularis* (White), *Acarinina incontans uncinata* (Bolli), *A. soldadoensis* (Bron.), *Globanomalina compressa* (Plum.), *Bulimina parvula* Brotz. та ін.

За віком нижньогромівська підсвіта є ранньопалеоценовою і відповідає датському етапу розвитку палеоценового басейну.

Відклади верхньогромівської підсвіти розкрито більшістю свердловин на різних підняттях північно-західного шельфу Чорного моря. На піднятті Голіцина за петрографічними дослідженнями, хімічним аналізом та визначенням карбонатності доведене значне поширення вапняків, як це вва-

Загальна стратиграфічна шкала (Berggren et al., 1995)		Загальна шкала палеоцену Кримсько-Кавказької області [2]		Періональні стратиграфічні підрозділи	
Млн років	Палеомагнітна шкала	Зони, підзони за планктонними форамініферами		Зони, підзони	Літологічна характеристика
55	C24г	ГРУПА ТАНЕТ-ІНГ	PP8	Зони, підзони	Форамініфери (С. Красава, Н. Маслович) [8, 10]. Нанопланктон (С. Лопельєва) [9, 10]
56	C25г		b	Зони, підзони	Acarinina acarinata
57	C25г		c	Зони, підзони	Morozavella aqua (S.I.)
58	C26г		a	Зони, підзони	Acarinina solidadoensis
59			PP7	Зони, підзони	Acarinina subsphaerica
60			PP6	Зони, підзони	Igorina djaniensis
61	C27г		PP5	Зони, підзони	Morozavella conicotruncata
62	C27г		PP4	Зони, підзони	Morozavella angulata
63	C28г		PP3	Зони, підзони	Acarinina inconstans
64	C28г		PP2	Зони, підзони	Globigerina compressa
65	C29г		PP1	Зони, підзони	Globigerina eobulloides
					Глини вапнякові, мергелі, валняки форамініферові, органогенно-дітритові
					Мергелі, валнякові глини, валняки криноїдні, форамініферові, спонголітово-криноїдні
					Загальна потужність – до 200 м
					Валняки органогенно-дітритові, криноїдно-спонголітово-форамініферові, валняки, мергелі, сидеритові породи, потужність до 100 м; колекторські властивості: видрока пористість – 12,5–24,5%, проникність (0,29–5,29)·10 ⁻¹⁵ м ²
					Переважання мергелів та валнякових глин; валняки кременісті; потужність до 150 м; колекторські властивості: видрока пористість – 25%, проникність (0,5–2137)·10 ⁻¹⁵ м ²

Рис. 2. Стратиграфічна схема палеоценових відкладів північно-західного шельфу Чорного моря

жалось раніше. Крім висококарбонатних вапняків (CaCO_3 до 96,0%), в яких практично відсутній теригенний матеріал, а з органічних решток превалюють уламки кріоїдей, у розрізі виявлено глинисті вапняки та мергелі. Потужність підсвіти зменшується у західному напрямку і становить від 30 до 100 м.

На підняттях Архангельське (св. 1), Кримське (св. 1), Штурмове (св. 1, 2) та інших ця частина розрізу також складена переважно вапняками (рис. 3). Породоутворюючими є тонкостінні черепашки форамініфер та їх дертит, кальцитові та кальцитизовані спікули губок, уламки кріоїдей. Співвідношення наведених груп органічних решток у розрізі дуже мінливі. Домінування вапняків також простежується і на піднятті Шмідта (св. 12, 25). У св. 25 характерною є постійна присутність

значної кількості доломіту, а також піриту і глауконіту. Органічних решток (форамініфери поганої збереженості) мало. А у св. 12, навпаки, вапняки на 70–90% складаються з органічних решток, а саме – з кріоїдей і спікул губок. Мікротекстура порід орієнтована або хаотична. На піднятті Сельського розріз представлений загалом мергелями або дуже глинистими вапняками. На піднятті Кримське виявлено прошарки сидеритових порід, у яких вміст органічних решток (переважно форамініфер) не перевищує 10%. А на піднятті Центральне характерними є прошарки спонголітових вапняків зі значною кількістю водоростей.

Верхньогромівський підсвіті відповідає зона *Morozovella angulata* з характерним комплексом форамініфер: *Heterostomella gigantica* Subb., *Spiroplectammina manschensis* Mor. et Kozhev., *S. varianta* Vass., *S. aff. kurtishensis* Balakhm., *Lenticulina vortex* (Ficnt. et Moll.), *Stensioina caucasica* Subb., *S. whitei* Mor., *Brotzenella preacuta* Vass., *Anomalinoides danicus* Brotz., *Anomalina umbilicatula* Mjatl., *Cibicides communatus* Mor., *Subbotina varianta* (Subb.), *S. triloculinoides* (Plumm.), *S. triangularis* (White), *S. trivialis* (Subb.), *Globorotalia pseudomenardii* (Bolli), *Reusella paleocenica* (Brotz.), *Pyramidina crassa* Brotz. тощо. За нанопланктоном верхньогромівська підсвіті відповідає зонам *Ellipsolithus macellus* та *Fasciculithus tympaniformis* [10]. Цей комплекс засвідчує, що верхньогромівська підсвіті має пізньопалеоценовий вік (зеландський ярус).

Для Крайового уступу характерні неповні розрізи громівської світи [16]. Так, у св. Олімпійська-400 відклади громівської світи представлені мергелями у нижній частині та перешару-

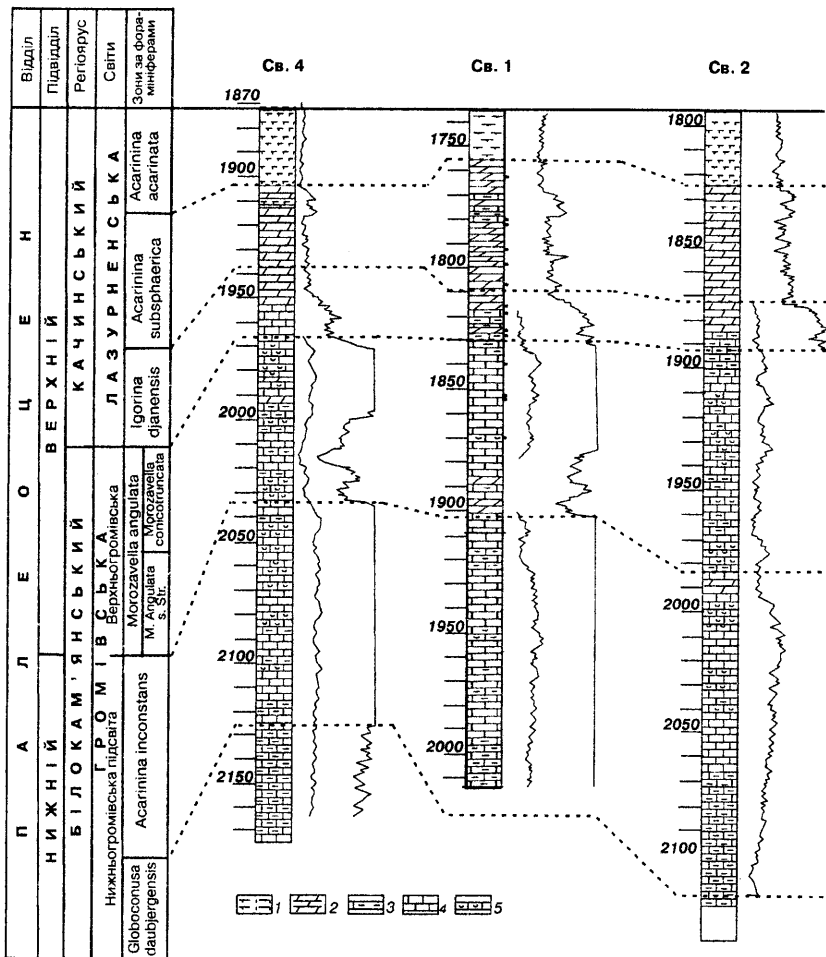


Рис. 3. Детальне розчленування та кореляція палеоценових відкладів підняття Штурмове

1 – глини вапнякові; 2 – мергелі; 3 – вапняки; 4 – вапняки глинисті; 5 – вапняки кременеві

ванням глинисто-сiderитових порід і вапняків угору по розрізу. Глинисто-сiderитові породи алевритисті, містять значну кількість уламкового матеріалу, вуглефіковані рослинні рештки, глауконіт і дисперсні бітумоїди. Вапняки біоморфно-детритові, кріногенні, містять уламки спікул губок та їжаків, черепашки форамініфер. Спостерігаються тонкі прошарки кальцито-глинисто-кременистих алевролітів. За мікрофауністичними даними, вік порід визначається як ранньопалеоценовий. Ця частина розрізу громівської світи зіставляється з тією частиною палеоценового флюшу Румунії, що відповідає зоні датського ярусу MP3 *Chiasmolithus danicus*. На підняттях Одеське та Безіменне розріз нижнього палеоцену значно скорочений, особливо на піднятті Безіменне. Тут присутня тільки нижня частина нижньотромівської підсвіти. Вона представлена органогенно-детритовими вапняками, до 50% яких складають уламки кріногейдій, а також тонко-і товстостінні черепашки форамініфер та їх детрит. За визначеннями карбонатності розріз на піднятті Одеське (св. 5) складено вапняками і тільки у верхній частині присутні мергелі, іноді вапняки алевритисті, з прошарками пісковиків вапняковистих та зірка вапняків глинистих. Це свідчить про поступове зменшення карбонатонакопичення, а циклічне збільшення уламкового матеріалу – про періодичні зміни гідродинамічних умов, пов'язаних з впливом геоморфологічного та гравітаційного факторів.

Загалом, білокам'янський регіоярус за віком є діахронним: ранній палеоцен – початок пізнього. У ньому відображені три етапи розвитку палеоценового басейну: датський (ранній–пізній), який був достатньо тривалим (приблизно 3,8 млн років та зеландський, тривалість якого не перевищує близько 1 млн років (рис. 2).

Верхній палеоцен. Качинський регіоярус. Лазурненська світа. Простежена на багатьох підняттях (Голіцина, Шмідта, Штурмове, Сельського, Кримське, Центральне, Гамбурцева, Одеське та ін.). Представлена мергелями, вапняками, алевритами та глиниами зеленувато-сірого, сірого, прошарками – темно-сірого та коричневого кольорів. Від відкладів громівської світи відрізняються більш світлими кольорами розрізу. Чітко виокремлюються три пачки. Нижня характеризується переважанням мертельів і вапнякових

глин та вапняків. Потужність її – від 40 до 60 м. Ознакою цієї пачки є фаціальна мінливість. На півночі Михайлівської западини, на піднятті Флангове розкрито вапняки з включеннями численних уламків вапнякових пісковиків розміром до 5 см. На піднятті Голіцина поширені мергелі, в яких теригенного матеріалу, зокрема уламків вапнякового спонголіту, до 20%. Характерним є присутність різноманітних аутигенних мінералів: доломіту, опалу, кліноптилоліту, глауконіту, піриту та сiderиту. Органічних решток – до 15%, переважно це форамініфири та їх детрит.

На сході Михайлівської западини (підняття Шмідта) в розрізі переважають мергелі, карбонатні глини та малопотужні прошарки глинистих вапняків, збіднілих на теригенний матеріал (<1%) та органічні рештки, серед яких поодинокі аглютиновані та халцидонізовані черепашки форамініфер, уламки їжаків та кальцитизовані діатомеї. Присутні вуглефіковані рослинні рештки, глауконіта та пірита.

На півдні регіону (підняття Сельського, Штурмове) переважають тонкошаруваті мергелі, в яких уверх по розрізу змінюється співвідношення піриту, доломіту, халцидону та опал-кристобаліту. Породи збагачені на уламки кріногейдій. В товщі присутні також поодинокі прошарки форамініферових та спонголітово-кріногенних вапняків, в яких органічні решток від 25 до 70%. Крім форамініфер та тонких кальцитизованих спікул губок тут є уламки кріногейдій, голок їжаків, діатомеї. На піднятті Штурмове простежуються, крім того, мергелі та глинисти вапняки, бідні на органічні рештки, а також не карбонатні алевроліти орієнтованої мікротекстури, в яких багато піриту, глауконіту, сiderиту, хлориту, акцесорних мінералів та вуглефікованих рослинних решток.

Особливістю розрізу нижньої пачки лазуренської світи на піднятті Кримське є градаційна товща мергелів та вапнякових глин з прошарками порід, збагачених на уламковий матеріал, який складає до 15% (розмір зерен – 0,1–0,15 мм). Спостерігається також градаційний розподіл форамініфер та уламків кріногейдій.

На Західно-Оленівському піднятті товщі складають переважно мергелі, менша питома вага глинистих вапняків, поодинокі прошарки безкарбонатної алевритової глини. Для порід характерна відсутність уламкового

матеріалу, поодинокі утворення глауконіту, інколи значний відсоток піриту та сидериту. Органічних решток – до 50%. Якщо в вапняках домінують дрібні спікули губок, нанопланктон і дуже мало форамініфер, то в мергелях вміст останніх якісно і кількісно значно збільшується.

Але найбільш відрізняються породи нижньої пачки на піднятті Гамбурцева, де розріз представлений перешаруванням вапняків і кременевих порід зі значним вмістом цеоліту типу кліноптилоліт. Серед органічних решток, яких не більше 15%, переважають уламки кріноголових розміром до 0,1 мм. Наявні тонкі поодинокі прошарки кременево-ватнякового спонгоголіту. Все це є свідченням турбідитного осадконакопичення з холодними течіями в цій частині північно-західного шельфу Чорного моря.

Нижня пачка за розподілом форамініфер виділяється як зона *Igorina djanensis* (рис. 2) з характерним комплексом *Morozovella pseudomenardii* (Bolli), *M. conicotruncata* Subb., *M. ehrenbergi* (Bolli), *Subbotina nana* (Chal.), *S. quadririloculinoides* (Chal.), *Acarinina indolensis* Moroz., *A. pentacamerata* Subb., *Grzybowskiella angusta* (Fried.), *Eggerella stryensis* Mjatl., *Stensioina caucasica* Subb., *Brotzenella praeacuta* Vass., *Anomalinoidea ferus* (Schutz.), *Cibicides lectus* Vass., *C. bratus* Schutz., *Epistomina paleogenica* Mjatl.

Для порід середньої пачки лазурненської світи характерним є зменшення карбонатності, уламкового матеріалу та кількості органічних решток, зокрема форамініфер. Потужність пачки – до 60 м.

Тільки на піднятті Гамбурцева поширені вапняки з підвищеним вмістом (до 90%) чеперашок форамініфер, уламків кріноголових, спікул губок, голок іжаків, розмір яких значно більший, ніж на інших підняттях.

У західній частині шельфу, зокрема на піднятті Безіменне, в розрізі присутня тільки середня частина середньої пачки, що складена органогенно-детритовими вапняками, для яких притаманні текстури змулювання, понад 20% теригенних зерен та уламків пористих вапняків з детритом (до 80%) пеліципід, чеперашок планктонних і бентосних форамініфер, спікул губок, уламків кріноголових тощо. Спостерігається пошарове збагачення на пірит, глауконіт, сидерит, а також желатиноподібний опал, який часто є породоутворюючим.

Середня пачка відповідає зоні *Acarinina subsphaerica* з *Anomalinoidea ferus* (Schutz.), *Globorotalia velascoensis* Cushm., *Bolivina midwayensis* Cushm., *Carpathiella ovulum* (Grzyb.), *Grzybowskiella angusta* (Friedd.), *Stensioina caucasica* Subb., *Eponides saginaris* N. Byk., *Pullenia coelli* White та ін.

Верхня пачка характеризується переважанням теригенних безкарбонатних порід потужністю 25–70 м. Розріз на піднятті Одеське складений перешаруванням безкарбонатних алевролітів з опал-кристалітовим цементом та аргілітів косоверстуватих, безкарбонатних. Це відклади зони *Acarinina acarinata* з характерними форамініферами *Reophax splendidus* Grzyb., *Carpathiella ovulum* (Grzyb.), *Nodellum velascoense* Cushm., *Grzybowskiella angusta* (Friedb.), *Recurvirodes varius* Mjatl., *Hyperammina cylindrica* Glaessn., *Cibicides lectus* Vass., *C. spiro-punctatus* Chal. et Moroz., *Anomalinoidea danicus* Brotz. та ін.

Склад порід та органічних решток цієї частини розрізу свідчить, що осадконакопичення загалом відбувалось у відносно глибоководних умовах, з низькими швидкостями відкладання малокарбонатних глинистих мулів, але в той же час на підвищених ділянках формувалися органогенно-детритові вапнякові фації. В розвитку басейну в качинський час виділяється, зважаючи на характер розподілу форамініфер, три етапи, що за віком відповідають пізнньому палеоцену (танетський ярус).

Палеоценові відклади були визначені на місцях континентальному схилі Чорного моря [13, 19]. За численними форамініферами воно проіндексовані як пізньопалеоценові. Палеоценові відклади континентального схилу мають багато спільногого з одновіковими відкладами шельфу (лазурненська світа), румунського шельфу, Карпатського регіону (ямненська світа), з верхньою частиною філішевої та карбонатно-мергельної товщ Стара-Планіни, Нижньокамчийського прогину Болгарії, Керченсько-Таманського, Кавказького регіонів [7, 16, 20]. Загалом, це генетично однотипові філішеві відклади, з якими пов'язані вуглеводневі поклади.

В результаті аналізу потужностей відкладів палеоцену в Рівнинному Криму, на північно-західному шельфі Чорного моря встановлено, що ці відклади відсутні тільки на Но-

воселівському піднятті та склепінних частинах Октябрської та М'ялової структур (рис. 4).

У межах Тарханкутського п-ова загальна потужність палеоценових відкладів збільшується з півночі на південь і залишається майже незмінною по латералі.

Мінімальні товщини мають нижньопалеоценові відклади Серебрянської, Тетянівської та Первомайської площ – від 36 до 70 м.

На Борисівській, Північно-Серебрянській та Аврорівській площах товщини нижньопалеоценових відкладів змінюються від 36 до 150 м. На Джанкойській, Слов'янській, Балашовській та Нижньогорській площах вони коливаються від 28 (св. 4-Сл) до 132 м (св. 6-Бл). Максимальне значення товщин (155 м) у св. 1-Каламітська.

На Карлавському піднятті (св. 10) потужність відкладів нижнього палеоцену складає 262 м, на Октябрському (св. 60) – 395 м, на Глібовському та Задорненському підняттях потужності змінюються відповідно від 258 (св. 25-Гл) до 292 м (св. 5-Зд). Лише за межами Тарханкутського п-ова, на Задорненському піднятті та далі на схід, потужність відкладів нижнього палеоцену значно скорочується, що може бути пов'язаним з некомпенсованим осадконакопиченням.

В акваторіальній частині Каркінітсько-Північно-Кримського прогину максимальні значення потужності відкладів палеоцену в західній частині та в межах південного борту сягають 250–300 м. Потужності палеоценових відкладів на Крайовому вступі такі ж, як і на структурах Архангельська Гамбурцева, але Крайовий уступ характеризується переважанням теригенних фаций, що ерозійне зрізані на півдні. Південна межа виклинювання та ерозійного зрізання має складну конфігурацію і простежується на південь від Крайового уступу та на Каламітському піднятті, про що свідчать дані буріння свердловин Десантна, Дельфін, Іллічівська, Євпаторійська та Південно-Бортова. Так, у св. 2-Іллічівська відклади палеоцену відсутні і верхньомайкопські глини залягають на породах кампану, а на Десантній середньоєоценові відклади перекривають маастрихтські.

Західна межа проходить уздовж східної перикліналі Кілійсько-Зміїного підняття та валу Губкіна, де ці відклади відсутні, що пов'язане, вірогідно, з тектонічними перебудовами у післяолігоценовий час.

Потужність відкладів нижнього палеоцену на Крайовому уступі у св. Олімпійська-400 значно скорочена і становить 110 м. Зазначимо, що, за нашими побудовами, збільшення потужностей цих відкладів слід очікувати на південний захід та на північний схід від зони структур Олімпійська-Крайова-Зональна; причому північно-західна ділянка має складатись більш теригенними фациями, характерними для Одеського блока, а південно-східна може бути проінтерпретована як зона розвитку органогенних споруд.

На Північному борту товщини нижнього палеоцену сягають 30–75 м, а верхнього – від 23 до 90 м. Північна межа виклинювання проведена за даними буріння св. 2-Прадніпровська.

З метою з'ясування співвідношення світ палеоцену, зіставлення фациальних комплексів було проаналізовано сейсмічну характеристику палеоценового комплексу та його обсягів (рис. 5).

Відповідно до сейсмічної характеристики палеоценовий комплекс обмежений сейсмічними поверхнями $\Delta t III^a$ (покрівля нижнього палеоцену) та $\Delta t III^{m+k}$ (покрівля верхньої крейди). Достовірність картування відбиваючого горизонту III^a досить висока. На більшості території це чітке, динамічно виражене безпереривне відбиття, що фіксує один з найсуттєвіших переривів в осадконакопиченні, відображає характер еволюції осадового морського седиментогенезу, а також ті тектонічні процеси, що спричинили формування сучасного структурного плану північно-західного шельфу Чорного моря та континентального схилу Західно-Чорноморської западини.

У Рівнинному Криму горизонт III^a простежується між карбонатними відкладами нижнього палеоцену та теригенними утвореннями верхнього, але ця межа не завжди чітка. На шельфі умовний відбиваючий горизонт III^a виокремлюється між палеоценовими та еоценовими утвореннями. Спостерігається збільшення карбонатних відкладів верхнього палеоцену, а у крайній західній частині Каркінітського прогину (Одеська блокова зона, рис. 5, в) – зміна фаций та літотипів порід нижнього палеоцену. Зважаючи на складний малюнок сейсмозапису, відбиваючі горизонти мають чітку характеристику на невеликих відстанях. Проте і у цих випадках до палеоценового сейсмокомплексу часто включено не тільки палеоценові утворення, а й еоценові

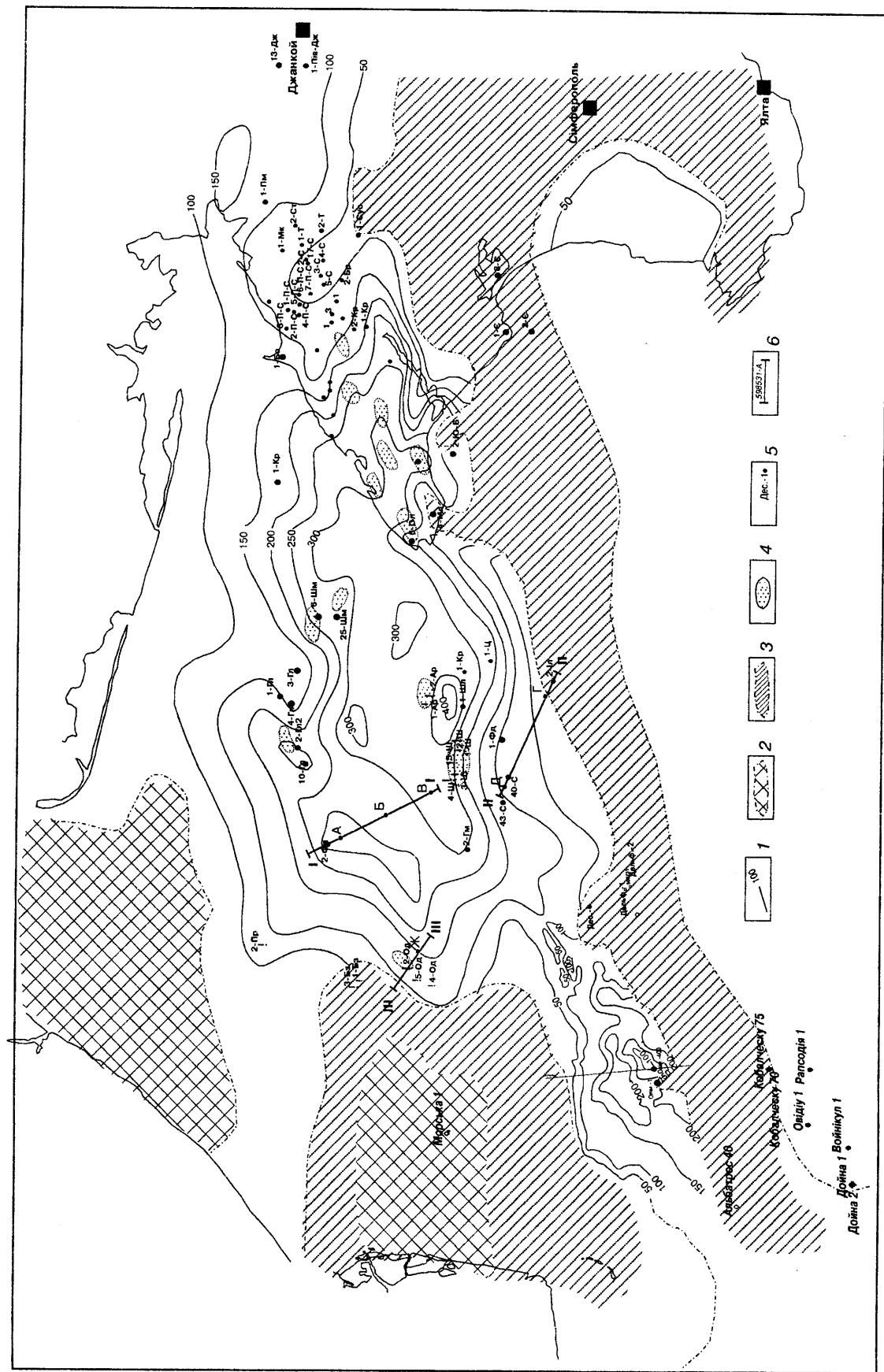


Рис. 4. Схема поширення нижньопалеоценових відкладів
1 – ізопахіти; 2 – зона відсутності відкладів; 3 – зона перереформованіх палеоценових відкладів; 4 – газові родовища; 5 – сировинні родовища; 6 – сейсмічні профілі

ві. Саме через це відбиваючий сейсмічний горизонт III^a не є хроностратиграфічним.

На окремих ділянках (Одеський блок – рис. 5, в, точки Е та Ж на профілі; Іллічівське підняття – рис. 5, б, точка Г та ін.) фіксуються зони інтерференції та відсутність відбиваючих горизонтів у межах сейсмокомплексу, що пов'язане зі зміною літофаций, неповнотою розрізу та виклинованням відкладів палеоцену. В зоні Каламітського валу (св. Іллічівська-2) прямыми геологічними методами доведена відсутність відкладів палеогенового комплексу та верхів верхньої крейди. Цей факт значною мірою пояснює складність інтерпретації будови сейсмокомплексу в межах валу. У бік Чорноморської западини, на південь від Каламітського валу, відклади палеоцену представлені філішевими фаунами конусів виносу континентального схилу (рис. 1). Відклади конуру ідентифікуються і за аналізом біолітосейсмостратиграфічних даних на підняттях Безіменне, Одеське, Штормове. Його існування простежено протягом кайнозою. В палеоцені напрямок потоків (прадунай?) був у бік Чорноморської западини (Олімпійське, Латеральне, румунський шельф); існував один з його флангів у палеоценовий час і в межах Каламітського валу; пізніше ці відклади було або розмито, або піддію гравітаційних процесів вони перемістилися у глибоководну Чорноморську западину. В міоцені починається міграція конусу виносу на північ. Можливо, це був конус виносу прабалтської дельти, але це припущення потребує додаткових досліджень.

У межах Крайового уступу, на піднятті Сельського (рис. 5, б, точка Д) та інших ділянках між Сулинсько-Тарханкутським та Північно-Евксинським розломами спостерігається з'єднання сейсмічних горизонтів III^a та II^b (покрівля середнього еоцену). Це пояснюється зменшенням потужностей еоценового комплексу. У таких випадках горизонт III^a фіксується як друга фаза від горизонту II^b і, як правило, не картується. Наявність великої кількості переривів у цій зоні на межі крейда – палеоцен, палеоцен – еоцен унеможливлює достовірне простеження горизонту III^a на таких територіях.

Повніше представлені відклади палеоцену у Михайлівській западині та у Південно-Голіцинській зоні. З півночі на південь за сейсмічними ознаками виділяється серія морфо-

логічно виражених уступів (рис. 5, а, точки А, Б на профілі) та фаціальні переходи відкладів зі зміною сейсмоструктури запису (рис. 5, а, точка Г). Наведена інформація ще раз доводить відмінності геологічної будови палеоценових відкладів західної і східної частин північно-західного шельфу Чорного моря.

Колекторські властивості палеоценової товщі найдетальніше вивчені на невеликих за запасами родовищах: Карлавському, Глебовському, Оленівському, Краснополянському, Кіровському, Задорненському Тарханкутського п-ова, де виявлені колектори порового та тріщинувато-порового типів II-VI класів. Поклади охарактеризовані як склепінні, масивні або пластові, як правило, підпираються гідрокарбонатно-натрієвими водами пониженої мінералізації (20–40 г/л). Максимальний приплив газу отримано на площі Глебовська – 1175 тис. м³/добу. Незначний приплив газу (11 тис. м³/добу) було одержано на Чорноморській площі.

Відкрита пористість вапняків та мергелів громівської світи змінюється від 6,0 до 20,6%. Маючи достатню міжгранулярну ємкість, ці породи характеризуються низькими фільтраційними властивостями. Вапняки, що раніше описувались як “піскуватоподібні”, – високими як ємністю (19,4–32,7%), так і фільтраційними ((0,5–243,8)·10⁻³ мкм²) властивостями. Усі різновиди порід нижнього палеоцену мають підвищенну тріщинуватість у склепіннях структур, що вказує на їх постседиментаційне походження.

Порово-тріщинуваті колектори III–V класів поширені у межах південної, частково середньої частини Тарханкутського п-ова та на піднятті Голіцина. На Глебовській, Оленьовській та деяких інших площах їх щільність змінюється від 1,27 до 2,64 г/см³, відкрита пористість складає 1,94–47,8% з переважаючими значеннями 20,6% на Глебовській, 26,6% – на Оленьовській та 39,0% – на Донузлавській площах. Незважаючи на високу пористість, ці вапняки мають у монолітах низьку проникність (до 0,5·10⁻¹⁵ м²). Фільтраційні властивості порід суттєво покращуються завдяки розвитку в них відкритих тріщин. Як правило, вони субгоризонтальні та нахилені; їх відкритість сягає 25 мкм, а густина коливається від 0,39 до 5,5 см/см². Тріщинувата проникність змінюється в межах (0,5–2137)·10⁻¹⁵ м², при цьому найбільшими

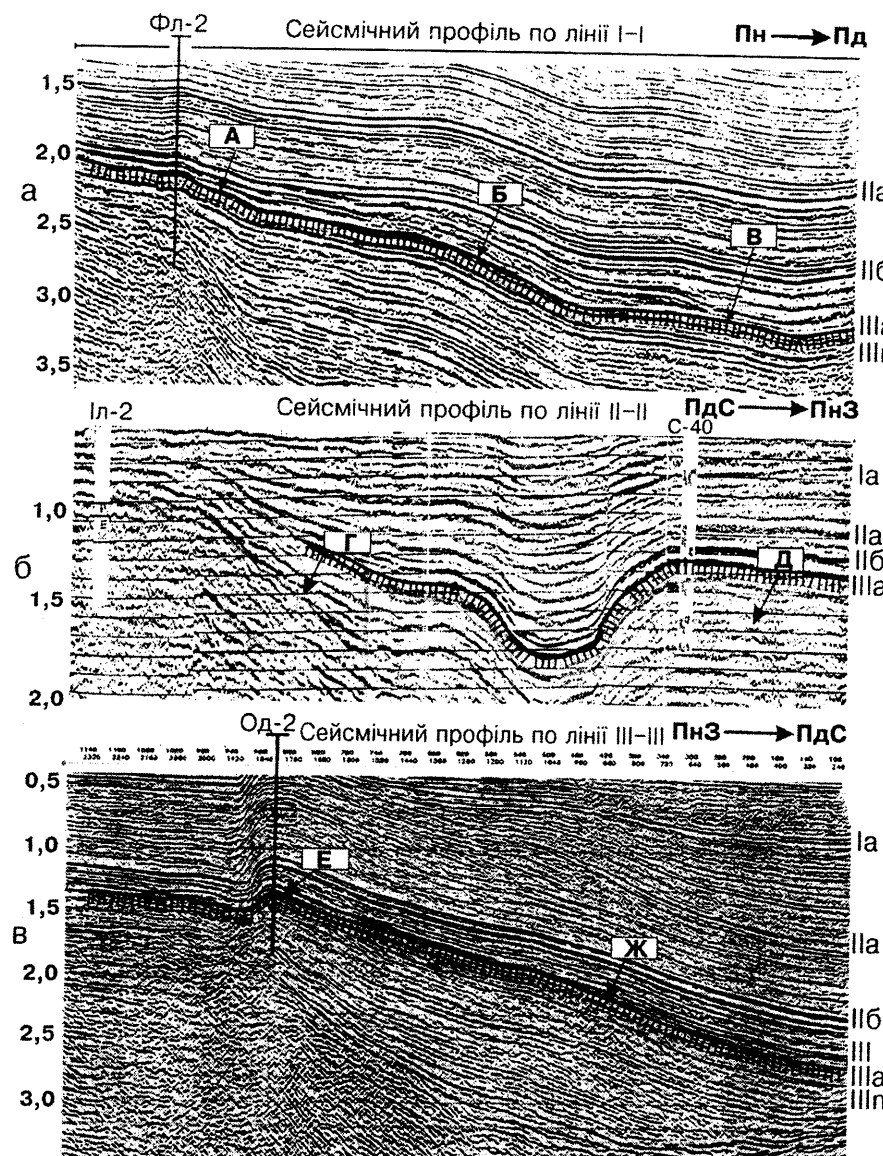


Рис. 5. Характеристика сейсмічних границь палеоценових відкладів

значеннями характеризуються породи на Глебовському піднятті.

На Карлавській, Краснополянській та Кіровській структурах палеоценові вапняки та мергелі є порово-тріщинуватими колекторами IV–VI класів, їх відкрита пористість змінюється від 1,0 до 25,0% з переважаючими значеннями 10–18%. Фільтраційні властивості обумовлені наявністю тріщин, що нерівномірно розподілені як по площі, так і по розрізу. Напрямок відкритих тріщин загалом субгоризонтальний, рідше хаотичний. Тріщинувата проникність сягає значень $95 \cdot 10^{-15} \text{ м}^2$.

У північній частині Тарханкутського п-ова (площі Байкальська та Чорноморська) поши-

рені тріщинувато-порові колектори, а у розрізах блокам'янського регіорусу переважають більш глинисті різновиди вапняків та мергелів, ніж на інших структурах півострова, їх відкрита пористість змінюється від 0,5 до 12,8%, проникність менша за $0,01 \cdot 10^{-15} \text{ м}^2$.

На Меловій, Родниковій, Октябрській, Джанкойській, Східно-Джанкойській, Слов'янській, Північно-Слов'янській площах отримано негативний результат – через відсутність покришки палеоценові відклади обводнені. На Голіцинському, Одеському та Штурмовому родовищах пористість колекторів сягає 35%, колектори гранулярного типу, пов'язані з карбонатно-уламковими породами. На Голіцинському піднятті щільність вапняків та мергелів нижнього палеоцену змінюється від 2,02 до $2,45 \text{ г}/\text{cm}^3$, відкрита пористість скла-

дає $5,73\text{--}24,58\%$ (переважно 15–16%), проникність – $40,1 \cdot 10^{-15} \text{ м}^2$.

На родовищі Штурмове кондиційні породи-колектори поширені практично на всій площі, незважаючи на значну диференційованість їх колекторських властивостей, яка контролювалась умовами осадконакопичення. За даними фациального аналізу та палеотектонічних побудов встановлено, що в ранньому палеоцені апікальна частина Штурмової структури розміщувалась на сході площи і мала відповідні морфоструктурні особливості. Вапняки на цій структурі найбільш пористі – до 25% (св. 23). Подібні морфоструктури спостерігаються і в окремих зонах цент-

рального склепіння (св. 12, 13). У напрямку до маргінальної частини валу, пористість вапняків зменшується до 16,5%. На південному борту Каркінітського прогину (площи Архангельська, Кримська, Центральна, Штільова) поширені мергелі та глинисті вапняки з коефіцієнтом пористості 6–9% [11].

На Крайовому уступі при опробуванні відкладів громівської світи у св. Олімпійська-400 в інт. 2121–2159 м (Б. М. Полухович та ін., 2003) спостерігався приплів пластової води з нафтою з дебітом 7,0–10,8 м³/добу води і 0,02–0,025 м³/добу нафти [15]. За матеріалами ГДС, потужність нафтонасиченого пласта становить 2,2 м. Ущільнена перемичка між нафтоносним і водоносним горизонтами сягає 4,8 м. Перфорацією разом з нафтоносним пластом був розкритий і водоносний. Пористість становить 8,6% за НГК, коефіцієнт нафтонасиченості – 45,0% (М. О. Мачигіна та ін.). За результатами лабораторних досліджень М. Ю. Нестеренка, проникність нафтонасиченого горизонту коливається в межах $(0,29\text{--}5,29)\cdot10^{-15}$ м². Відкрита пористість змінюється від 12,2 до 24,5%, залишкове водонасичення – 33,0–46,9%. Коєфіцієнт нафтонасичення відповідно коливається від 53,1 до 67,0%. Нижня пачка громівської світи до глибини 2129,6 м водонасичена; колектор складений піскоподібними вапняками. Слід зазначити, що ці колекторські властивості є характерними лише для крайньої західної ділянки Кримсько-Чорноморського регіону, а для переважної частини Каркінітського прогину притаманні більш глинисті відклади, що являють собою проміжну товщу з низькими колекторськими властивостями.

Найбільш перспективною є західна частина шельфу, яка зі сходу прилягає до зони Кілійсько-Зміїного підняття та валу Губкіна. В палеоценовому басейні це була частина відкритого шельфу, де відкладались органогенно-детритові мули зі значним (до 85%) вмістом детриту (св. 3, 5 Штурмове). Коєфіцієнт пористості – до 30–35% за рахунок міжзернових порожнистих пор та пор вилуговування органічних решток.

Продуктивний палеоценовий комплекс на різних структурах перекривається породами верхнього палеоцену, еоцену, олігоцену, що слугують покришками. Найкращі екрануючі властивості мають глини нижнього еоцену,

а на деяких структурах – карбонатні глини верхньої пачки лазурненської світи. Наявність таких регіональних покришок є одним з вирішальних факторів продуктивності відкладів палеоцену. На думку багатьох дослідників, перспективність палеоценового комплексу обмежена наявним фондом прирозломних антиклінальних структур. Перспективи комплексу певною мірою пов'язані зі склепіннями палеопідняттів, які зазнали постседиментаційних перебудов. Тому їх прогноз на комплексній основі набуває особливого значення, враховуючи і пошерення в їх межах карбонатних порід з високими колекторськими властивостями. Перспективними є і виявлені палеопониження континентального схилу, де значний розвиток мають турбідитові та перевідкладені з підвищених ділянок відклади.

Всі наведені чинники засвідчують складний характер просторово-часової структури палеоценової формації, її формування відбувалося в різні етапи осадконакопичення при різних режимах залежно від морфології і рухомості дна басейну та його елементів (зона шельфу, континентальний схил), а також циклічного осадконакопичення.

В палеоцені виділяється два седиментаційних макроцикли, стратиграфічними еквівалентами яких є білокам'янський та качинський регіояруси (рис. 2).

У період формування білокам'янського макроциклу, який поділяється на два цикли, відбувалось накопичення карбонатних мулів зі змінною домішкою глинистого матеріалу в умовах глибоководного відкритого шельфу. Ранній цикл характеризувався утворенням у відновних умовах, в спокійній гідродинамічній обстановці карбонатних мулів, збагачених на глинисто-кремнеземисту речовину. Свідченням цього є переважно орієнтована текстура порід, значний відсоток піриту, відповідні комплекси мікрофауни. Для пізнього циклу притаманне різке збільшення питомої ваги карбонатонакопичення. Породоутворюючими були головним чином форамініфири (планктонні та бентосні) та коколітофориди. В районі підняттів Голіцина, Сельського, Шмідта, Архангельського відбувалось короткочасне формування прошарків крійоїдних вапнякових мулів. У районі підняття Центральне накопичувались водоростяні карбонатні мули, на Кримському карбонатних осадків було значно менше і в розрізі крім

мергелів та глинисто-кремнеземистих вапняків присутні тонкі прошарки сидеритових порід, що свідчить про короткочасне існування різко відновних умов осадкоутворення.

Качинський макроцикл за ступенем зменшення карбонатонакопичення поділяється на три цикли. Перший цикл успадкований за умовами осадкоутворювання від пізнього блокам'янського циклу. Присутність таких генетичних типів порід, як органогенно-детритові форамініферові вапняки, дозволяє пропустити, що їх утворення відбувалось на підвищених ділянках, вище лінії лізокліну, при наявності відносно теплої течії. Те, що в комплексі форамініфер є різноманітні аглютинові форми, які поширені також у верхньопалеоценових відкладах Карпат (ямненська світа) та Північного Кавказу, свідчить про ідентичність абіотичних умов в седиментаційному басейні цих регіонів і дає можливість зіставляти цю частину розрізу, яка є продуктивною.

Інші два цикли качинського регіояруса чітко виокремлюються за різким зменшенням карбонатонакопичення. Встановлено, що в межах однієї структури тривалість циклів не відрізняється, а кореляція по стратиграфічних рівнях різних блоків структур показує, що потужності товщ зменшуються у часі, що пов'язано зі зменшенням швидкостей осадконакопичення протягом палеоцену.

Аналіз потужностей палеоценових відкладів та їх складу свідчить, що осадконакопичення в палеоцені відбувалось в умовах досить батиметрично диференційованого морського басейну зі складним рельєфом. У результаті цього на сході Рівнинного Криму розвинуті органогенно-уламкові вапняки з водоростями, моховатками, молюсками та товстостінними, переважно бентосними форамініферами. Такі утворення характерні для районів, прилеглих до Сімферопольського підняття та ін., і свідчать про мілководний, навіть прибережний режим морського осадконакопичення. Поступово в південному напрямку на Тарханкутському п-ові відбувалась зміна мілководного осадконакопичення на більш глибоководне (фації зовнішнього шельфу). Переважають мергелі, глинисті вапняки, а у складі форамініфери-крінідних, спонголіто-форамініфери-крінідних біоморфно-детритових мікрозернистих вапняків, як правило, домінують планктонні форамініфири, що свідчують осадконакопичення відкритого

моря, зокрема внутрішнього шельфу. І поступово у бік Чорноморської западини відбувалось заглиблення морського басейну, де встановлено глибоководні ділянки шельфової зони та материкового схилу. Тут розвинуті глинисті мергелі, вапняки, карбонатні аргіліти та дрібнозернисті пісковики. В цих фаціях асоціація форамініфер, кокколітофорид характеризує глибоководне неритичне, навіть батіально-пелагічне осадконакопичення.

Тобто, в означенному регіоні ми маємо увесь спектр карбонатних утворень – від органогенно-детритових сублітаралі, рифових бар'єрних споруд і форамініферових осадків шельфової рівнини до кокколіто-форамініферових мулів континентального схилу.

На режим осадконакопичення значний вплив мав і морфоструктурний план басейну. І тому на північно-західному шельфі (сучасний структурний план) на узагальнюючому фоні відносно глибоководного осадконакопичення ми спостерігаємо підвищені ділянки, де наявні біогермні структури (район Гамбурцева), відносно мілководні органогенно-детритові карбонатні мули (підняття Сельського, Одеське та ін.). Найбільш глибоководні фації – район підняття Голіцина. Досить суттєві відмінності умов осадконакопичення в палеоцені західної (до Одеського розлому) і східної частин північно-західного шельфу Чорного моря. У бік Чорноморської западини на південь від Каламітського валу як за сейсмічними даними, так і за біолітосейсмостратиграфічними доведено існування великого конуса виносу, наявність глибоководних фацій. Батиметрична і морфоструктурна диференційованість палеоценового басейну обумовила наявність неповних розрізів, переривів, мінливість фацій, особливо у північній і західній частинах регіону. Тому перспективи слід пов'язувати з рифогенними будовами північної частини регіону і з карбонатними та кременисто-карбонатними утвореннями шельфу, а також континентального схилу. Крім того, значний вплив на формування сучасних структур мали постседиментаційні перебудови, що спричинили накладену субширотну тектоно-стратиграфічну зональність палеоценового продуктивного комплексу.

1. Атлас родовищ нафти і газу України. Т. 6. Південний нафтогазоносний регіон. – Львів: УНГА, 1998. – 224 с.

2. Беньяновский В. Н. Обоснование детальной стратиграфической схемы нижнего палеогена Крымско-Кавказской области // Пути детализации стратиграфических схем и палеогеографических реконструкций. – М.: ГЕОС, 2001. – С. 210–223.
3. Богаец А. Т., Денега Б. И., Каменецкий А. Е. и др. Прогноз поисков нефти и газа на юге УССР и на прилегающих акваториях / Под ред. В. В. Глушко и С. П. Максимова. – М: Недра, 1981. – 240 с. – (Тр. УкрНИГРИ; Вып. 30).
4. Будкевич О. М., Недосекова І. В. Прогнозування органогенних споруд крейдяно-палеоценового віку на північно-західному шельфі Чорного моря // Тез. III Междунар. конф. "Крым-2001", Гурзуф, 17–21 сент. 2001 г. "Геодинамика и нефтегазоносные системы Черноморско-Каспийского региона". – Симферополь, 2001. – С. 24–25.
5. Геология шельфа УССР. Стратиграфия. – Київ, Наук. думка, 1984. – 184 с.
6. Геология шельфа УССР. Нефтегазоносность. – Київ: Наук. думка. – 1986. – 152 с.
7. Іванік М. М., Маслун Н. В. Палеогеографические условия образования палеоценовых отложений в нефтегазоносных областях Украины // Литология осад. чехла УССР (палеогеогр. аспект): Материалы IV Респ. литол. совещ. – Київ: Наук. думка, 1991. – С. 264–267.
8. Іванік М. М., Маслун Н. В. Кореляція загальної шкали палеоцену України, Середземномор'я, Світового океану за планктонними форамініферами з палеомагнітною та хроностратиграфічною шкалою // Доп. НАН України. – 2000. – № 3. – С. 128–133.
9. Краева Е. Я., Люльєва С. А. Биозонация палеоценовых отложений шельфа Черного моря по фораминиферам и нанопланктону // Геол. журн. – 1984. – № 6. – С. 62–70.
10. Краева Е. Я., Люльєва С. А. Фораминеферы и зоны известковистого нанопланктона палеогеновых отложений шельфа северо-западной части Черного моря // Изв. АН СССР. Сер. геол. – 1976. – № 10. – С. 133–139.
11. Лазарук Я. Г. Найбільше родовище Чорноморського шельфу: модель, формування, запаси // Сб. докл. IV Междунар. конф. "Геодинамика и нефтегазоносные структуры Черноморско-Каспийского региона", Гурзуф, 9–14 сент. 2002 г. – Симферополь, 2002. – С. 132–138.
12. Макаренко Д. Е., Зелинская В. Н., Зерненецкий Б. Д. и др. Стратиграфическая схема палеогеновых отложений Украины (унифицированная). – Киев: Наук. думка, 1987. – 116 с.
13. Маслун Н. В., Иноземцев Ю. И., Оровецкий Ю. Ю. Нижнекайнозойские отложения Крымского континентального склона Черного моря. – Киев, 1989. – 36 с. – (Препр./АН УССР. ИГН; 89-13).
14. Маслун Н. В., Цихоцкая Н. Н. Био- и литостратиграфические критерии поисков углеводородов в палеогене северо-западного шельфа Черного моря // Біостратиграфічні дослідження при пошуках корисних копалин України. – К., 1996. – С. 38.
15. Недосекова И. В., Карпенко И. В., Будкевич О. М., Кичка А. А. Основные черты строения и перспективы нефтегазоносности Краевого уступа // Тез. IV Междунар. конф. "Геодинамика и нефтегазоносные структуры Черноморско-Каспийского региона", Гурзуф, 9–14 сент. 2002 г. – Симферополь, 2002. – С. 140–141.
16. Плотникова Л. Ф., Маслун Н. В., Іванік М. М. та ін. Стратиграфія крейдово-палеоценових відкладів та особливості геологічного розвитку західної частини північно-західного шельфу Чорного моря // Геол. журн. – № 2. – 2003. – С. 27–38.
17. Стратиграфическая схема фанерозойских образований Украины для геологических карт нового поколения: Графические приложения. – Киев, 1993.
18. Цихоцкая Н. Н. Литолого-фаціальне исследование палеогена северо-западного шельфа Черного моря. – Київ, 1990. – 44 с. – (Препр. / АН УССР. ИГН; 90-5).
19. Шнюков Е. Ф., Маслун Н. В., Иноземцев Ю. И., Оровецкий Ю. Ю. Новые данные о геологическом строении континентального склона Южного Крыма // Геол. журн.– 1990. – № 3. – С. 88–98.
20. Catuneanu O. Geology of the Black Sea Romanian Shelf of North-Dobrogean type // Revue Roumaine de Geologie. – Bucharest, 1994. – Vol. 38. – P. 53–65.

Ін-т геол. наук НАН України,
Київ

Статья надійшла
13.11.03